



Lens-Like Action of a Star by the Deviation of Light in the Gravitational Field

Albert Einstein

Science, New Series, Vol. 84, No. 2188. (Dec. 4, 1936), pp. 506-507

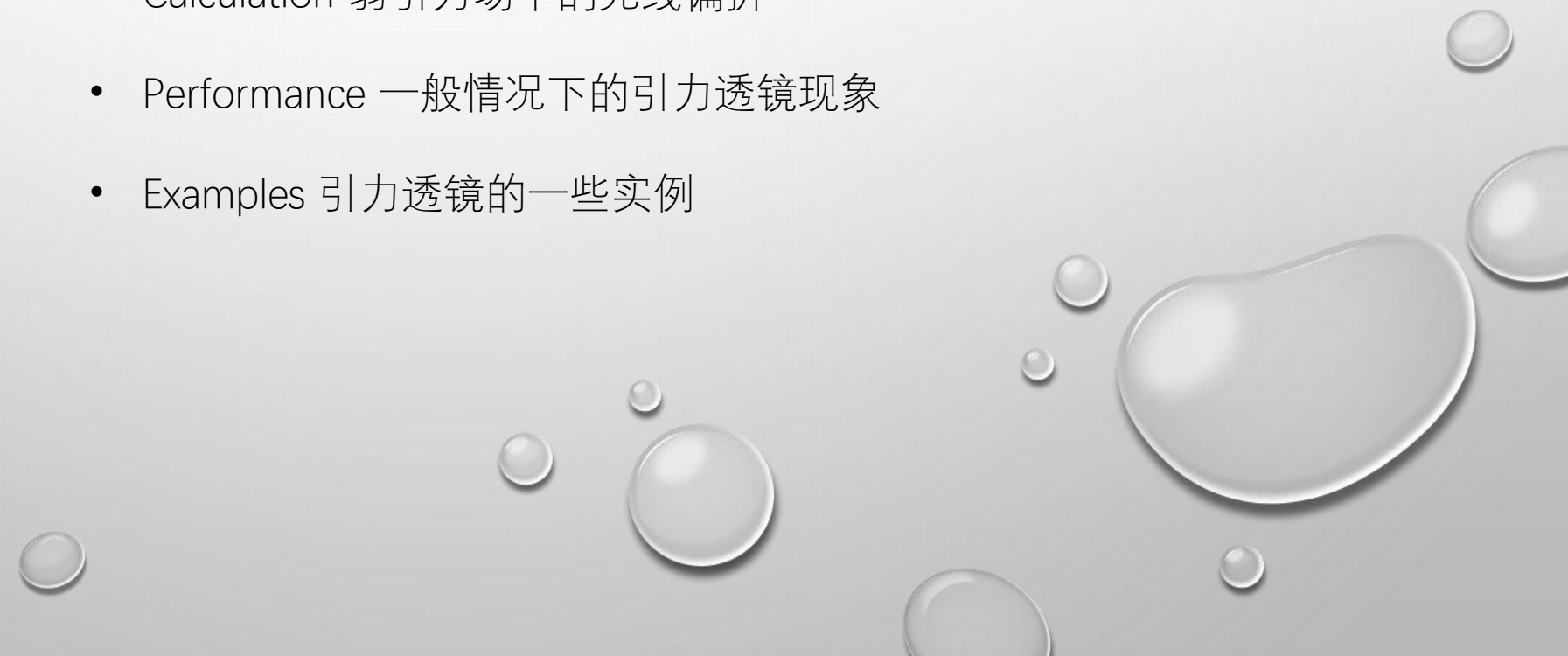
天体的引力透镜现象

潘书航
1500011434

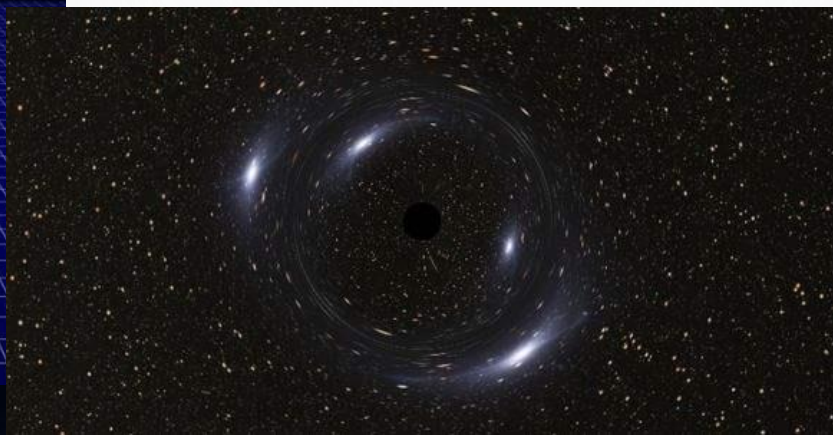
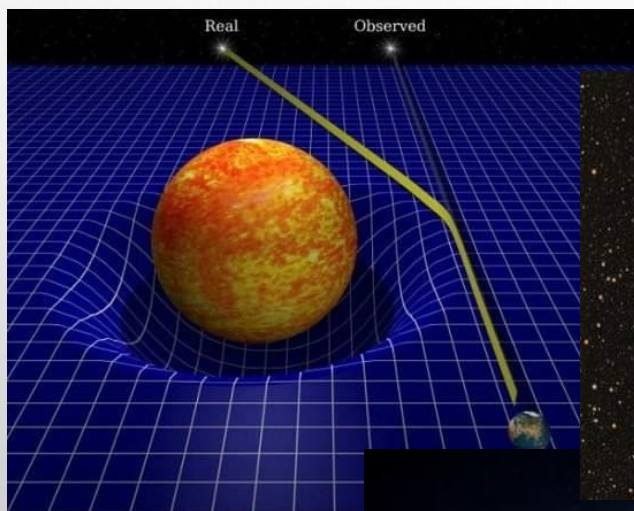




Contents

- Introduction 引力透镜介绍
 - Calculation 弱引力场中的光线偏折
 - Performance 一般情况下的引力透镜现象
 - Examples 引力透镜的一些实例
- 

Introduction



- 强引力透镜
- 弱引力透镜
- 微引力透镜

Calculation

- 经典物理下的“光微粒”偏折
- 广义相对论下的时空弯曲

Calculation

- 经典物理下的“光微粒”偏折

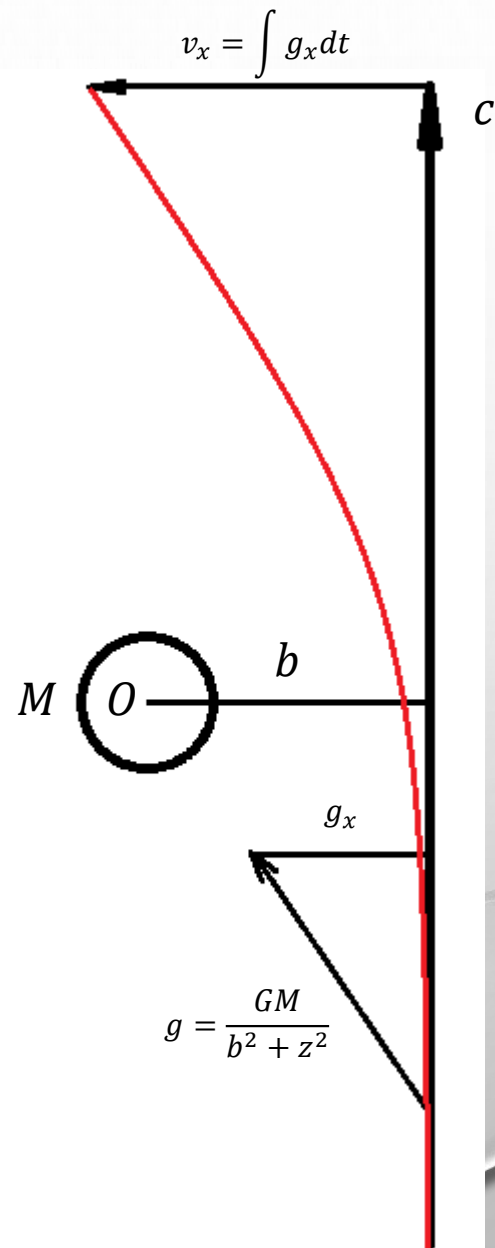
对于光线通过一个点质量的情形（弱引力近似），取点质量为原点，光线入射方向为z方向。对光微粒的偏折影响来自于引力垂直方向分量产生的加速度。

$$g_x = \frac{GMb}{(b^2 + z^2)^{\frac{3}{2}}}$$

故经过点质量后速度变化量：

$$v_x = \int_{-\infty}^{+\infty} g_x dt = \int_{-\infty}^{+\infty} g_x \frac{dz}{c} = \frac{2GM}{bc}$$

得到“光微粒”偏转角度： $\alpha = \frac{2GM}{bc^2}$



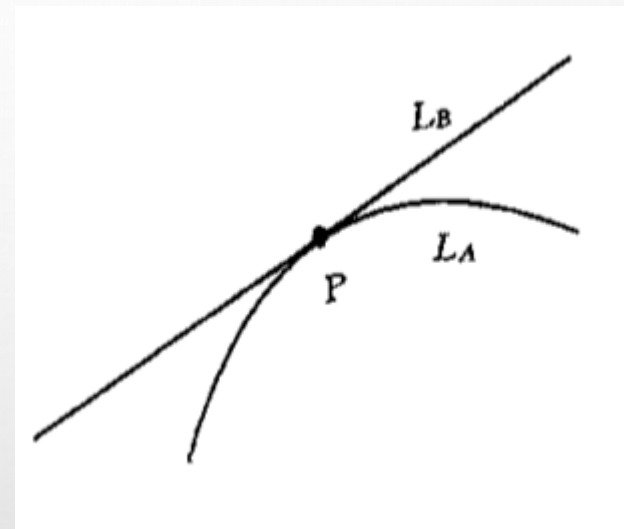
Calculation

- 广义相对论下的时空弯曲

弯曲时空的世界线 L_A ，于 P 点的瞬时静止局域惯性系的平直时空世界线 L_B ，二者相切。在切点邻域有二者线元相等， $ds_A = ds_B$ 。定义 L_A 上的故有时间 $d\tau_A$ ，有

$$d\tau_A = \frac{ids_A}{c} = \frac{ids_B}{c} = d\tau_B$$

即随着弯曲时空世界线 L_A 运动的时钟与 P 点的瞬时静止局域惯性系的时钟有着相同的固有时间。



Calculation

- 广义相对论下的时空弯曲

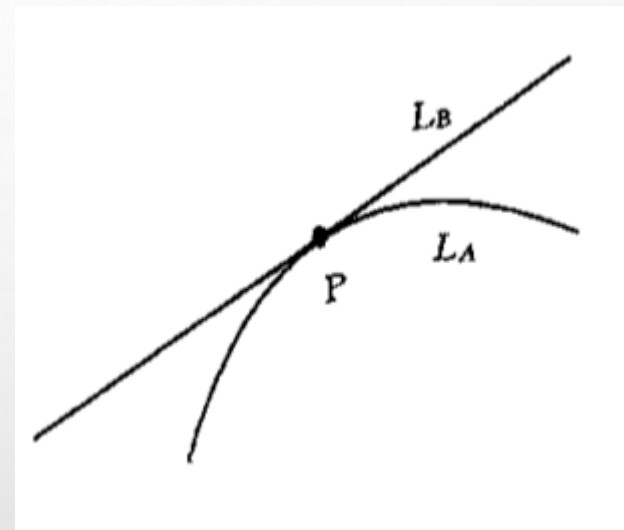
对于弯曲时空的任意时空坐标 x^μ ($\mu = 0, 1, 2, 3$), 其中 x^0 为时间坐标, 则以 $t = x^0/c$ 运行的时钟称为坐标钟, dt 为坐标时间. 坐标时间的本质是大范围平直时空观测者的钟的测量时间.

弯曲时空中的间隔是广义坐标变换下的不变量:

$$ds^2 = g_{\mu\nu} dx^\mu dx^\nu \quad (\mu, \nu = 0, 1, 2, 3)$$

相对于某一坐标系静止的观测者, 他的固有时和坐标时间的关系:

$$d\tau = \frac{ids}{c} = \frac{1}{c} \sqrt{-g_{\mu\nu} dx^\mu dx^\nu} = \frac{1}{c} \sqrt{-g_{00}} dx^0 = \sqrt{-g_{00}} dt$$



Calculation

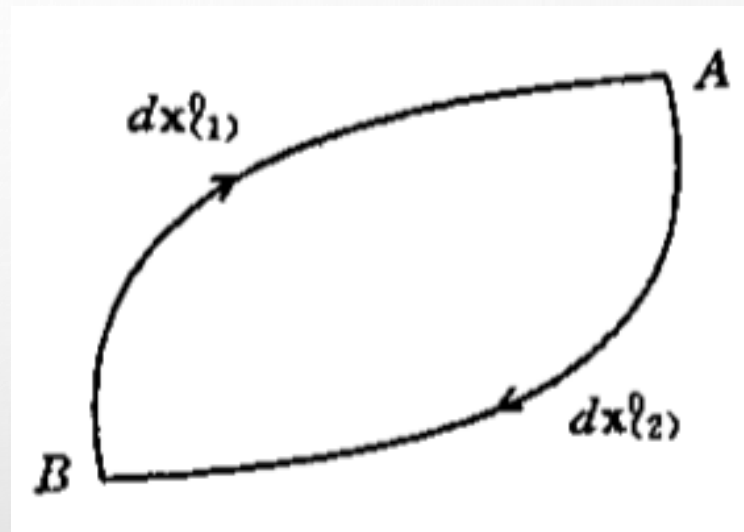
- 广义相对论下的时空弯曲

固有距离和固有时间的关系：

设 A 、 B 为空间相邻点，光信号从 B 到 A 再反射回 B 需要的坐标时间为： $\Delta x^0 = dx_{(1)}^0 + dx_{(2)}^0$ （没有假定光速的各向同性）。在 B 点引入局域惯性系， Δx^0 对应的固有时间为： $\Delta\tau = \frac{1}{c}\sqrt{-g_{00}}\Delta x^0$ 。

在局域惯性系中，光速各向同性且恒等于 c ，故两相邻点的纯空间距离为： $dl = \frac{c\Delta\tau}{2} = \frac{1}{2}\sqrt{-g_{00}}\Delta x^0$ 。

即通过测量固有时间，并以坐标时间为桥梁，可以得到两相邻点的固有距离 dl 。



Calculation

- 广义相对论下的时空弯曲

固有距离和空间坐标变化的关系：

对上述过程，由光线的时空间隔为0可以得到：

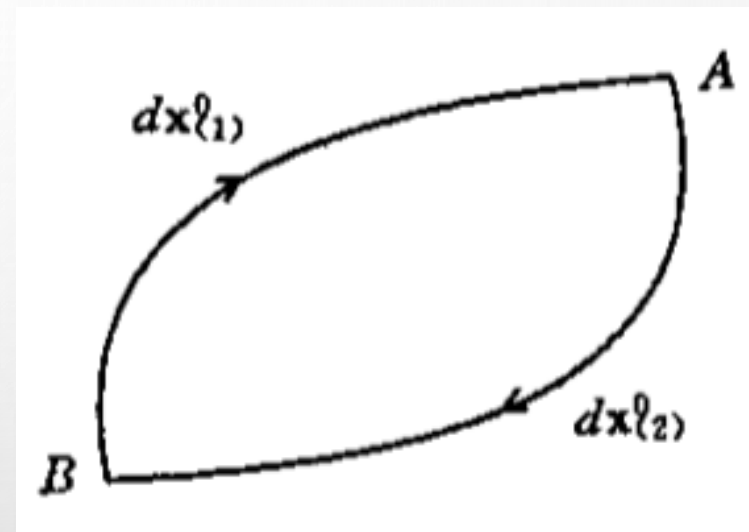
$$ds^2 = 0 = g_{00}(dx^0)^2 + 2g_{0i}dx^i dx^0 + g_{ik}dx^i dx^k \quad (i, k = 1, 2, 3)$$

可以解得：

$$dx^0 = \frac{-g_{0i}dx^i \pm \sqrt{(g_{0i}g_{0k} - g_{00}g_{ik})dx^i dx^k}}{g_{00}}$$

$$dx_{(1)}^0 = \frac{-g_{0i}dx_{(1)}^i \pm \sqrt{(g_{0i}g_{0k} - g_{00}g_{ik})dx_{(1)}^i dx_{(1)}^k}}{g_{00}}$$

$$dx_{(2)}^0 = \frac{-g_{0i}dx_{(2)}^i \pm \sqrt{(g_{0i}g_{0k} - g_{00}g_{ik})dx_{(2)}^i dx_{(2)}^k}}{g_{00}}$$



Calculation

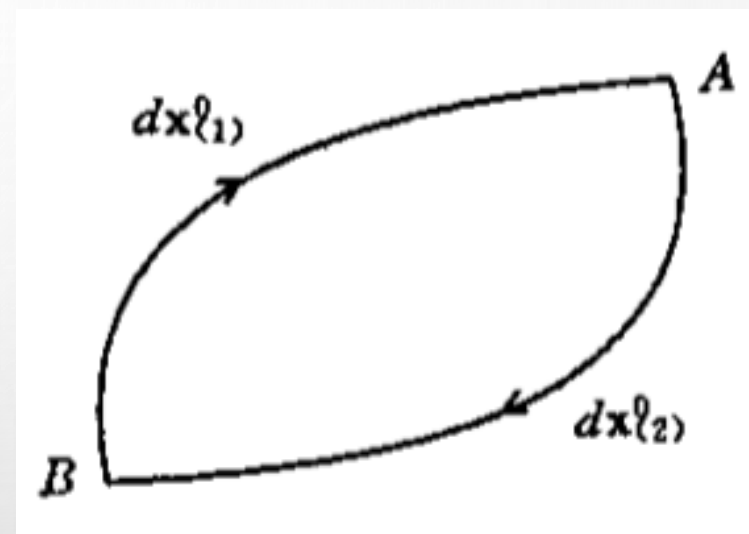
- 广义相对论下的时空弯曲

固有距离和空间坐标变化的关系：

考虑到 A 、 B 两点的纯空间坐标满足 $dx_{(1)}^i = -dx_{(2)}^i = dx^i$

$$\text{有 } \Delta x^0 = dx_{(1)}^0 + dx_{(2)}^0 = \frac{2\sqrt{(g_{0i}g_{0k} - g_{00}g_{ik})}dx^i dx^k}{-g_{00}}$$

$$\text{即 } dl = \frac{1}{2}\sqrt{-g_{00}}\Delta x^0 = \sqrt{\left(g_{ik} - \frac{g_{0i}g_{0k}}{g_{00}}\right)}dx^i dx^k$$



Calculation

- 广义相对论下的时空弯曲

静态弯曲时空中的无穷远处观测者测到的光速：

在静态时空中，有 $\frac{\partial g_{\mu\nu}}{\partial t} = 0$ ， $g_{0i} = 0$ ，取光速沿 dx^1 方向，有

$$dl^2 = g_{11}(dx^1)^2$$

无穷远处观测到的光速由坐标时间和空间坐标确定：

$$c' = \frac{dx^1}{dt} = \sqrt{-\frac{g_{00}}{g_{11}} \frac{dl}{d\tau}} = \sqrt{-\frac{g_{00}}{g_{11}}} c$$

Calculation

- 广义相对论下的时空弯曲

球对称引力场中的光速：

场方程在一阶近似的情况下可以得到引力场中的线元：

$$ds^2 = -\left(1 + \frac{2G}{c^2} \int \frac{\rho dV}{r}\right) \sum (dx^i)^2 + \left(1 - \frac{2G}{c^2} \int \frac{\rho dV}{r}\right) c^2 dt^2 \quad (i = 1, 2, 3)$$

对于点质量或球对称分布质量为 M 的物体，可以得到：

$$ds^2 = -\left(1 + \frac{2GM}{c^2 r}\right) (dx^1)^2 + \left(1 - \frac{2GM}{c^2 r}\right) c^2 dt^2$$

代回前述表达式得到无穷远处观测光速： $c' = \left(1 - \frac{2GM}{c^2 r}\right) c$

Calculation

- 折射定律（费马原理）计算光偏折角度

由光速表达式，可以等效为在变折射率介质中的光偏折. 折射率表达式 $n(r) = (1 + \frac{2GM}{c^2 r})$

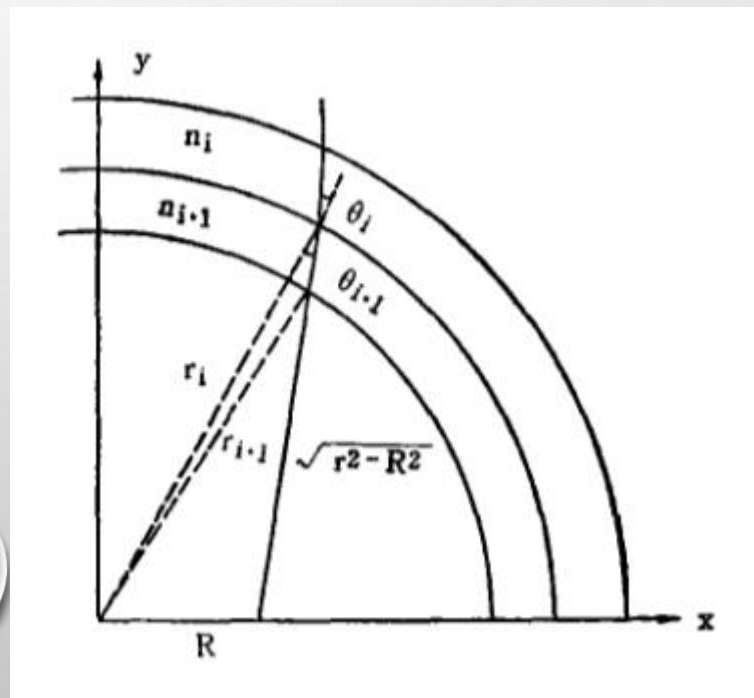
右图中的光线角度偏折是夸大处理的结果，设每一微元薄层入射、折射角度如图.

由折射定律可得 $\frac{\sin \theta_{i+1}}{\sin \theta_i} = \frac{n_i}{n_{i+1}}$ ，取 $\theta_{i+1} = \theta_i - \Delta\theta_i$ （负号表示向场源偏折）； $r_{i+1} = r_i + \Delta r_i$ ；代入并用微分符号取代微元符号可得：

$$d\theta = -\tan \theta \frac{2GM}{c^2} \frac{dr}{r^2}$$

考虑到弱场近似与小角度近似，取 $R \approx b$ ，则有

$$\tan \theta = \frac{b}{\sqrt{r^2 - b^2}}$$



Calculation

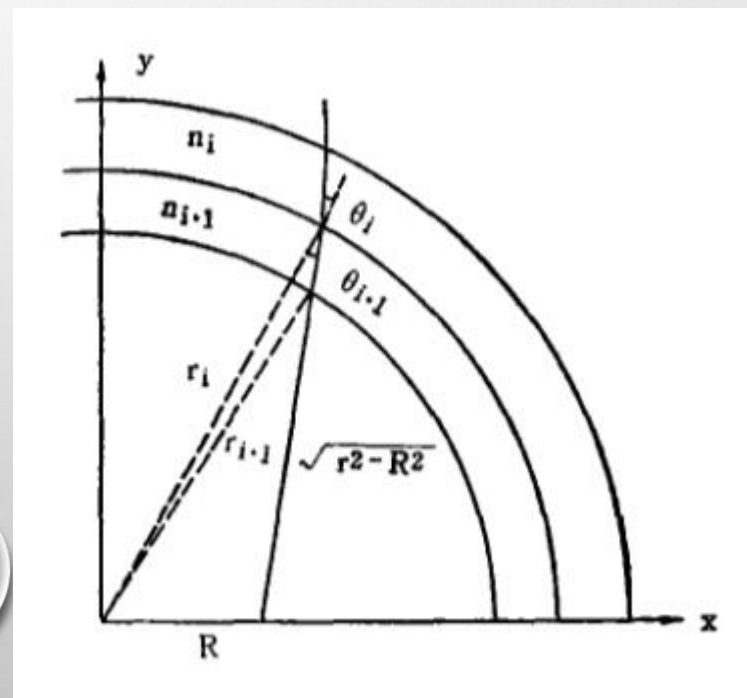
- 折射定律（费马原理）计算光偏折角度

由此，对 $d\theta$ 积分可以得到

$$\int d\theta = \int_{\infty}^b -\frac{b}{\sqrt{r^2 - b^2}} \frac{2GM}{c^2} \frac{dr}{r^2} = \frac{2GM}{bc^2}$$

与之相对称的，从 b 处出发到无穷远处的光线偏转同样角度.

$$\alpha = \frac{4GM}{bc^2}$$



Performance

- 一般情况下的微引力透镜现象

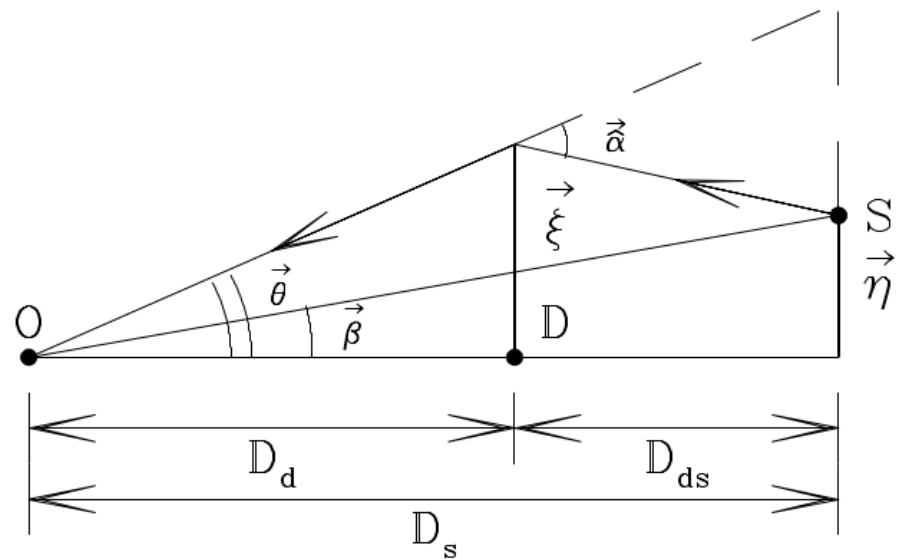
如右图所示，O为观测者，D为透镜星，S为源星，由几何分析可得，系统满足等量关系：

$$\eta + \hat{\alpha}D_{ds} = \xi \frac{D_s}{D_d}$$

两侧同除 D_s 可得：

$$\beta + \alpha = \theta (*)$$

式中 $\alpha = \hat{\alpha} \frac{D_{ds}}{D_s}$, $\beta = \frac{\eta}{D_s}$, $\theta = \frac{\xi}{D_d}$



Performance

- 一般情况下的微引力透镜现象

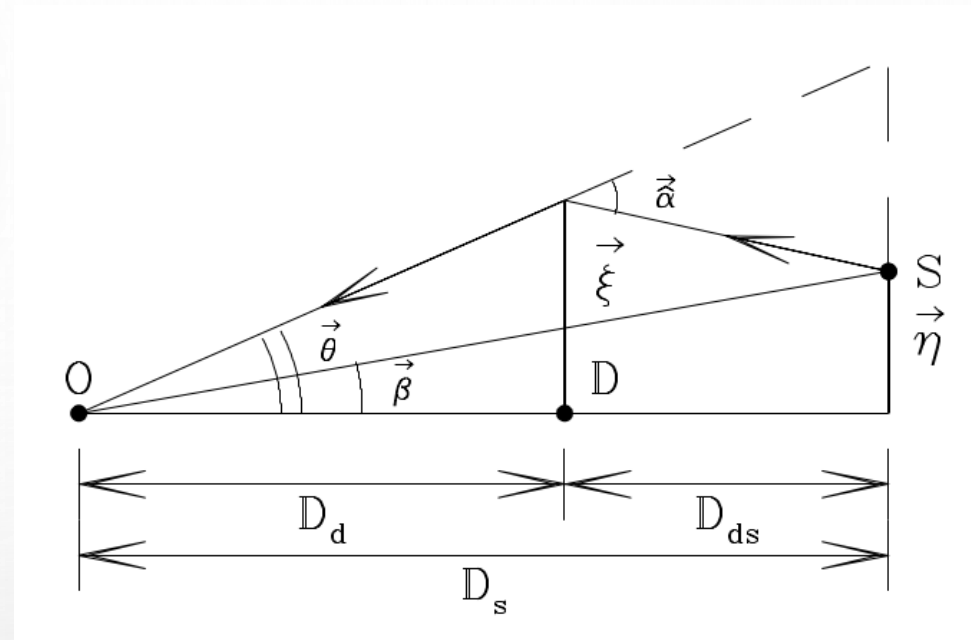
由光线偏折角度的计算, $\hat{\alpha} = \frac{4GM}{\xi c^2}$

$$\text{有 } \alpha = \hat{\alpha} \frac{D_{ds}}{D_s} = \frac{4GM}{D_d \theta c^2} \frac{D_{ds}}{D_s} \equiv \frac{\theta_E^2}{\theta}$$

其中,

$$\theta_E = \frac{r_E}{D_d} = \sqrt{\frac{4GM}{c^2} \frac{D_{ds}}{D_d D_s}} \approx 0.55 \text{ mas} \sqrt{\frac{1 - D_d/D_s}{D_d/D_s} \left(\frac{D_s}{8 \text{ kpc}} \right)^{-\frac{1}{2}} \left(\frac{M}{0.3 M_\odot} \right)^{\frac{1}{2}}}$$

$$r_E = D_d \theta_E = \sqrt{\frac{4GM}{c^2} \frac{D_{ds} D_d}{D_s}} \approx 2.2 \text{ AU} \sqrt{4 \times \left(1 - \frac{D_d}{D_s} \right) \frac{D_d}{D_s} \left(\frac{D_s}{8 \text{ kpc}} \right)^{-\frac{1}{2}} \left(\frac{M}{0.3 M_\odot} \right)^{\frac{1}{2}}}$$



Performance

- 一般情况下的微引力透镜现象

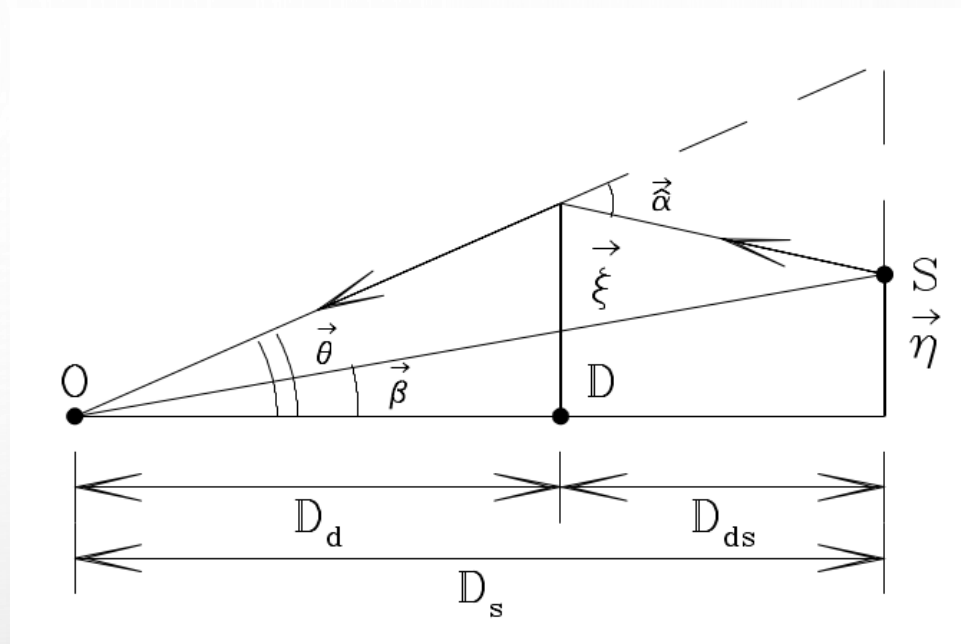
将 $\alpha = \frac{\theta_E^2}{\theta}$ 代回(*)可得关于 β 的表达式：

$$\beta + \frac{\theta_E^2}{\theta} = \theta$$

作替换 $r_s = \frac{\beta}{\theta_E}$, $r = \frac{\theta}{\theta_E}$, 得到：

$$r_s + \frac{1}{r} = r$$

解出 $r_{\pm} = \frac{r_s \pm \sqrt{r_s^2 + 4}}{2}$, 两个像之间的角度为 $\Delta\theta = \theta_E \sqrt{r_s^2 + 4}$



Performance

- 像的放大率

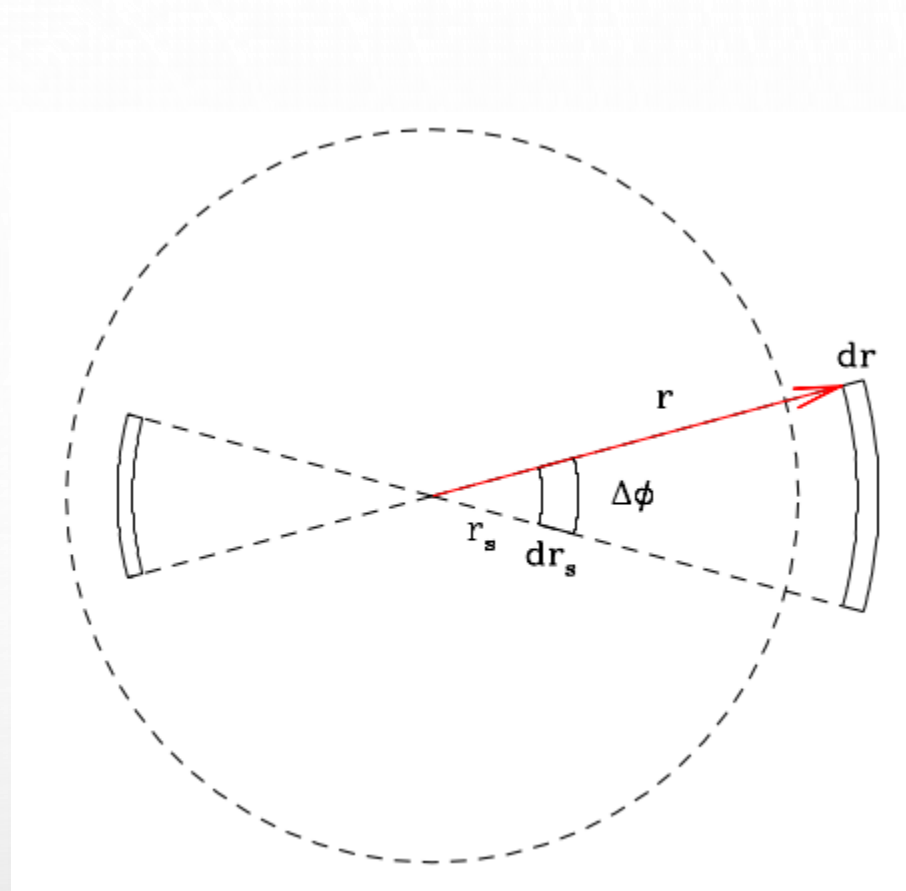
取源星的微元 $dr_s, \Delta\phi$. 其成像情况如图所示, 该面元的放大率可以由下式给出:

$$\mu = \frac{dr \times r \Delta\phi}{dr_s \times r_s \Delta\phi} = \frac{r}{r_s} \frac{dr}{dr_s}$$

$$\mu_+ = \frac{(r_s + \sqrt{r_s^2 + 4})^2}{4r_s \sqrt{r_s^2 + 4}}, \mu_- = -\frac{(r_s - \sqrt{r_s^2 + 4})^2}{4r_s \sqrt{r_s^2 + 4}}$$

$$\text{总的放大率为二者之和 } \mu = |\mu_+| + |\mu_-| = \frac{r_s^2 + 2}{r_s \sqrt{r_s^2 + 4}}$$

$$\text{两个像的放大率之差为 } |\mu_+| - |\mu_-| = 1$$



Examples

- 恒星经过太阳的光线偏折（1919）

广义相对论的一个重要实验验证，爱丁顿利用日全食的机会观测；

- 双类星体QSO 0957+561A、B（1979）

两个光学间距约5”，其余性质几乎完全一样的类星体；

- 类地行星OGLE-2005-BLG-390Lb（2005）

光学引力透镜实验组（OGLE），背景恒星变亮发现系外类地行星；

The background is a light gray gradient. It is decorated with numerous realistic water droplets of various sizes, some clustered in the top-left and bottom-right corners. A faint, circular, embossed-style logo is centered in the upper half of the image.

The End